Nº 96

MSC: 20C99

2025 Математика и механика

Tomsk State University Journal of Mathematics and Mechanics

# МАТЕМАТИКА

## **MATHEMATICS**

Научная статья УДК 512.54

doi: 10.17223/19988621/96/1

# Линейное представление группы кактусов

## Ксения Вячеславовна Зимирева

Новосибирский государственный университет, Новосибирск, Россия, k.zimireva@g.nsu.ru

**Аннотация.** Группа кактусов  $J_n$ ,  $n \ge 2$ , может быть порождена n-1 элементами. В предлагаемой работе, используя представление в этих порождающих, строится линейное представление группы кактусов. Доказано, что образ полученного представления изоморфен группе подстановок  $S_n$  и при всех  $n \ge 3$  это представление не является точным

**Ключевые слова:** группа кактусов, группа подстановок, представление порождающими и соотношениями, линейное представление, точное представление

**Благодарности:** Исследование выполнено при финансовой поддержке гранта Российского научного фонда № 24-21-00102, https://rscf.ru/project/24-21-00102/

**Для цитирования:** Зимирева К.В. Линейное представление группы кактусов // Вестник Томского государственного университета. Математика и механика. 2025. № 96. С. 5–13. doi: 10.17223/19988621/96/1

Original article

# **Linear representation of cactus groups**

## Ksenia V. Zimireva

Novosibirsk State University, Novosibirsk, Russian Federation, k.zimireva@g.nsu.ru

**Abstract.** Braid groups have various applications in algebra and topology, and the cactus group can be considered as its analogue. A cactus group  $J_n$ ,  $n \ge 2$ , is generated by the elements  $a_i := s_{1,i}$ , i = 2,...,n, and defined by the relations

$$a_i^2 = 1,$$

$$(a_i a_k a_j a_k)^2 = 1, \ i \le j, \ i+j \le k,$$

$$a_i a_k a_j a_k = a_{i+j-k} a_j a_{i+j-k} a_i,$$

$$(1) \ 4 \le j + 2 \le i \le n; \quad (2) \ j < k < i; \quad (3) \ 2 \le i + j - k \le n; \quad (4) \ 2k \le i + j.$$

In the current work we apply this presentation to construct a linear representation of  $J_n$ . So, the main result of the current work is as follows: there exists a linear representation of the cactus group in the group of automorphisms of a free left module over the ring  $\mathbb{Z}[t_1^{\pm 1}, \dots, t_{n-1}^{\pm 1}]$ . It is proved that the image of the group  $J_n$  under the map f is isomorphic to the symmetric group  $S_n$ . In particular, f is not faithful for any  $n \ge 3$ .

**Keywords:** cactus group, symmetric group, presentation by generators and relations, linear representation, faithful representation

**Acknowledgments:** This work has been supported by the grant the Russian Science Foundation, RSF 24-21-00102, https://rscf.ru/project/24-21-00102/

**For citation:** Zimireva, K.V. (2025) Linear representation of cactus groups. *Vestnik Tomskogo gosudarstvennogo universiteta. Matematika i mekhanika – Tomsk State University Journal of Mathematics and Mechanics*. 96. pp. 5–13. doi: 10.17223/19988621/96/1

### 1. Введение

Группа кактусов появилась в работах С.Л. Девадосса [1] и М. Дэвисса, Т. Янушкевича, Р. Скотта [2] при изучении мозаичной операды и группы отражений соответственно. Сам термин «группа кактусов» был введен в работе А. Энрикеса, Д. Камницера [3] при изучении структуры кограничных категорий.

Группы кактусов исследовались в контексте геометрической теории групп в работе [4]. В [5] П. Беллинджери, Х. Чемин и В. Лебедь решили проблему равенства слов, описали кручение и нашли центр группы кактусов. Также ими было получено представление групп кактусов  $J_n, n \leq 4$ , в порождающих, число которых нельзя уменьшить. Кроме того, они изучали связь группы кактусов с прямоугольными группами Кокстера, группами твинов и группами диаграмм Гаусса—Мостового.

Известно [7], что группа  $J_n$  может быть порождена n-1 элементами, и это число уменьшить нельзя [7]. Возникает естественный вопрос о записи системы соотношений в этих порождающих. Во втором разделе настоящей работы будет выписана такая система соотношений (см. теорему 2.1). Данная система соотношений была найдена в [6]. В начале 2024 г. эта же система соотношений с полным доказательством появилась в работе [7].

- Я. Мостовой [8] показал, что группа крашеных кактусов вкладывается в прямоугольную группу Кокстера.
- Р. Ю [9] определил обобщенные группы кактусов, имеющие своим гомоморфным образом некоторую группу Кокстера. В частности,  $J_n$  является обобщенной группой кактусов, имеющей своим образом группу  $S_n$ . Р. Ю показал, что всякая обобщенная группа кактусов линейна, построив точное линейное представление в явном виде.

В настоящей работе строится линейное представление  $f:J_n\to Aut(V)$  группы кактусов  $J_n$  в группе автоморфизмов свободного левого модуля V над кольцом Лорановых многочленов  $\mathbb{Z}[t_1^{\pm 1},\dots,t_{n-1}^{\pm 1}]$ . Доказано, что образ группы  $J_n$  при отображении f изоморфен группе  $S_n$ . Установлено, что построенное представление не является точным при  $n\geq 3$ .

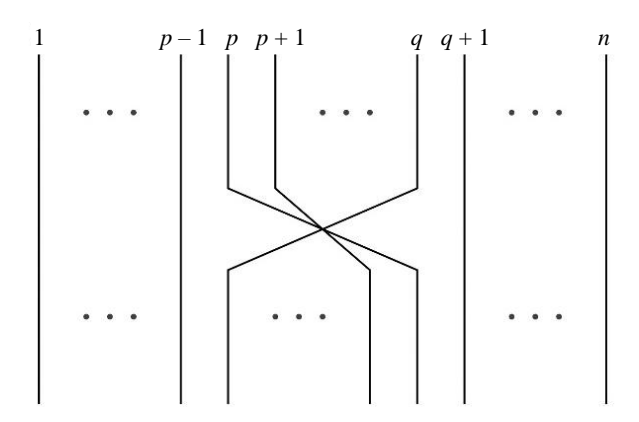
## 2. Группы кактусов

Группа кактусов  $J_n, n \ge 2$ , порождается элементами  $s_{p,q}, \ 1 \le p < q \le n$  , и определяется соотношениями

$$\begin{split} s_{p,q}^2 = & 1, \\ s_{p,q} s_{m,r} = & s_{m,r} s_{p,q}, \text{ при } [p,q] \cap [m,r] = \varnothing, \\ s_{p,q} s_{m,r} = & s_{p+q-r,p+q-m} s_{p,q}, \text{ при } [m,r] \subset [p,q]. \end{split}$$

Здесь мы пользуемся обозначением  $[p,q] = \{p, p+1, ..., q-1, q\}$ .

Существует следующая геометрическая интерпретация элементов группы кактусов. Порождающий  $s_{p,q}$  изображается набором n нитей, среди которых нити с номерами  $p, p+1, \ldots, q$  пересекаются в одной точке, меняя свой порядок на обратный (рис. 1). Произведение элементов в группе кактусов определяется так же, как и в группе кос. Рассматриваем два кактуса с одинаковым числом нитей, помещаем один кактус над другим и соединяем концы нитей.



**Puc. 1.** Интерпретация элемента  $s_{p,q}$  **Fig. 1.** Interpretation of the element  $s_{p,q}$ 

Можно заметить, что часть порождающих группы кактусов можно выразить через другие. Тогда получим представление группы  $J_n$ , заданное следующим образом:

**Теорема 2.1** ([6], [7]). Группа кактусов  $J_n$ ,  $n \ge 2$ , порождается элементами  $a_i := s_{1,i}$ , i = 2, ..., n, и определяется соотношениями

$$a_i^2 = 1, (j1)$$

$$(a_i a_k a_j a_k)^2 = 1, i \le j, i + j \le k,$$
 (j2)

$$a_i a_k a_j a_k = a_{i+j-k} a_j a_{i+j-k} a_i,$$
 (j3)

(1) 
$$4 \le j + 2 \le i \le n$$
; (2)  $j < k < i$ ; (3)  $2 \le i + j - k \le n$ ; (4)  $2k \le i + j$ .

**Лемма 2.1** ([7]). Группа кактусов  $J_n$  не может быть порождена меньше чем n-1 элементами.

## 3. Линейные представления группы кактусов

Действие отображения f и композицию отображений f и g мы применяем слева направо, т.е. xf = (x)f и (x)(fg) = (xf)g.

**Теорема 3.1.** Пусть V — свободный левый модуль с базисом  $e_i$ ,  $1 \le i \le n$ , над кольцом  $\mathbb{Z}[t_1^{\pm 1}, \dots, t_{n-1}^{\pm 1}]$ . Отображение  $f: J_n \to \operatorname{Aut}(V)$  является линейным представлением группы кактусов  $J_n$ , действующим по правилу  $a_k \mapsto f_k$ , где  $f_k = (a_k)f$  и определяется действием на базисе модуля V:

где v = 2,...,n. Также положим  $t_0 = 1$ .

**Доказательство.** Проверим, что f – гомоморфизм. Для этого покажем, что соотношения группы  $J_n$  сохраняются под действием f. Сначала докажем, что соотношения (j2) переходят в соотношения  $f_i f_k f_j f_k = f_k f_j f_k f_i$ . Указанное равенство будет выполнено, если для всех  $e_u$ ,  $1 \le u \le n$ , справедливо равенство

$$(e_u)f_if_kf_jf_k = (e_u)f_kf_jf_kf_i,$$
  
$$i \le j, \quad i+j \le k.$$

В зависимости от значения  $1 \le u \le n$  рассмотрим несколько случаев:

1) 
$$1 \le u \le i$$
, 2)  $i < u \le k - j$ , 3)  $k - j < u \le k$ , 4)  $k < u \le n$ .

Здесь и далее будем указывать над знаком равенства номер ограничения на индексы формулы (1), которое выполняется для рассматриваемого выражения. Например, пусть  $1 \le w \le i$  и мы действуем  $f_k$  на  $e_{i-w+1}$ , где i < k, тогда  $(e_{i-w+1}) f_k = t_{i-w} t_{k-i+w-1}^{-1} e_{k-i+w}$ . Здесь над знаком равенства стоит (1.1), поскольку когда мы пользуемся формулой (1), то u = i - w + 1, v = k и выполнено неравенство  $1 \le u \le v$  (первая строка формулы (1)).

Будем последовательно выписывать результаты вычислений для левой и правой частей.

Случай 1. Пусть  $1 \le u \le i$ :

$$(e_u)f_if_kf_jf_k = (t_{u-1}t_{i-u}^{-1}e_{i-u+1})f_kf_jf_k = (t_{u-1}t_{k-i+u-1}^{-1}e_{k-i+u})f_jf_k = (t_{u-1}t_{k-i+u-1}^{-1}e_{k-i+u})f_jf_k = (t_{u-1}t_{k-i+u-1}^{-1}e_{k-i+u})f_jf_k = (t_{u-1}t_{k-i+u-1}^{-1}e_{k-i+u})f_k = t_{u-1}t_{i-u}^{-1}e_{i-u+1},$$

$$(e_u)f_kf_jf_kf_i = (t_{u-1}t_{k-u}^{-1}e_{k-u+1})f_jf_kf_i = (t_{u-1}t_{k-u}^{-1}e_{k-u+1})f_kf_i = (e_u)f_i = t_{u-1}t_{i-u}^{-1}e_{i-u+1}.$$
Случай 2. Пусть  $i < u \le k - j$ :

$$\begin{split} &(e_u)f_if_kf_jf_k \stackrel{(1.2)}{=} (e_u)f_kf_jf_k \stackrel{(1.1)}{=} (t_{u-1}t_{k-u}^{-1}e_{k-u+1})f_jf_k \stackrel{(1.2)}{=} (t_{u-1}t_{k-u}^{-1}e_{k-u+1})f_k \stackrel{(1.2)}{=} e_u, \\ &(e_u)f_kf_jf_kf_i \stackrel{(1.1)}{=} (t_{u-1}t_{k-u}^{-1}e_{k-u+1})f_jf_kf_i \stackrel{(1.2)}{=} (t_{u-1}t_{k-u}^{-1}e_{k-u+1})f_kf_i \stackrel{(1.2)}{=} (e_u)f_i \stackrel{(1.2)}{=} e_u. \end{split}$$

Случай 3. Пусть  $k - j < u \le k$ :

$$(e_{u})f_{i}f_{k}f_{j}f_{k} = (e_{u})f_{k}f_{j}f_{k} = (t_{u-1}t_{k-u}^{-1}e_{k-u+1})f_{j}f_{k} = \\ = (t_{u-1}t_{j-k+u-1}^{-1}e_{j-k+u})f_{k} = t_{u-1}t_{2k-j-u}^{-1}e_{2k-j-u+1},$$

$$(e_{u})f_{k}f_{j}f_{k}f_{i} = (t_{u-1}t_{k-u}^{-1}e_{k-u+1})f_{j}f_{k}f_{i} = (t_{u-1}t_{j-k+u-1}^{-1}e_{j-k+u})f_{k}f_{i} = \\ = (t_{u-1}t_{2k-j-u}^{-1}e_{2k-j-u+1})f_{i} = t_{u-1}t_{2k-j-u}^{-1}e_{2k-j-u+1}.$$

Случай 4. Пусть  $k < u \le n$ :

$$(e_{u})f_{i}f_{k}f_{j}f_{k} \stackrel{(1.2)}{=} (e_{u})f_{k}f_{j}f_{k} \stackrel{(1.2)}{=} (e_{u})f_{j}f_{k} \stackrel{(1.2)}{=} (e_{u})f_{k} \stackrel{(1.2)}{=} e_{u},$$

$$(e_{u})f_{k}f_{j}f_{k}f_{i} \stackrel{(1.2)}{=} (e_{u})f_{j}f_{k}f_{i} \stackrel{(1.2)}{=} (e_{u})f_{k}f_{i} \stackrel{(1.2)}{=} (e_{u})f_{i} \stackrel{(1.2)}{=} e_{u}.$$

Таким образом, доказано, что соотношения (j2) переходят в соотношения  $f_i f_k f_j f_k = f_k f_j f_k f_i$ .

Перейдем к аналогичному разбору случаев для соотношения (ј3):

$$(e_u)f_if_kf_if_k = (e_u)f_{i+i-k}f_if_{i+i-k}f_i,$$

(1) 
$$4 \le j + 2 \le i \le n$$
; (2)  $j < k < i$ ; (3)  $2 \le i + j - k \le n$ ; (4)  $2k \le i + j$ .

Рассмотрим следующие случаи:

1) 
$$1 \le u \le i - k$$
, 2)  $i - k < u \le i + j - k$ , 3)  $i + j - k < u \le i$ , 4)  $i < u \le n$ .

Случай 1. Пусть  $1 \le u \le i - k$ :

$$(e_{u})f_{i}f_{k}f_{j}f_{k} = (t_{u-1}t_{i-u}^{-1}e_{i-u+1})f_{k}f_{j}f_{k} = (t_{u-1}t_{i-u}^{-1}e_{i-u+1})f_{j}f_{k} = (t_{u-1}t_{i-u}^{-1}e_{i-u+1})f_{j}f_{k} = (t_{u-1}t_{i-u}^{-1}e_{i-u+1})f_{j}f_{k} = (t_{u-1}t_{i-u}^{-1}e_{i-u+1})f_{k}f_{i} = (t_{u-1}t_{i-u}^{-1}e_{i-u+1}, (t_{u-1}t_{i-u}^{-1}e_{i-u+1}, t_{u-1}^{-1}e_{i-u+1}, (t_{u-1}t_{i-u}^{-1}e_{i-u+1}, t_{u$$

Случай 2. Пусть  $i - k < u \le i + j - k$ :

$$(e_{u})f_{i}f_{k}f_{j}f_{k} = (t_{u-1}t_{i-u}^{-1}e_{i-u+1})f_{k}f_{j}f_{k} = (t_{u-1}t_{k-i+u-1}^{-1}e_{k-i+u})f_{j}f_{k} = \\ = (t_{u-1}t_{j-k+i-u}^{-1}e_{j-k+i-u+1})f_{k} = t_{u-1}t_{2k-j-i+u-1}^{-1}e_{2k-j-i+u},$$

$$(e_{u})f_{i+j-k}f_{j}f_{i+j-k}f_{i} = (t_{u-1}t_{i+j-k-u}^{-1}e_{i+j-k-u+1})f_{j}f_{i+j-k}f_{i} = (t_{u-1}t_{k-i+u-1}^{-1}e_{k-i+u})f_{i+j-k}f_{i} = \\ = (t_{u-1}t_{2i-2k+i-u}^{-1}e_{2i-2k+j-u+1})f_{i} = t_{u-1}t_{2k-i-i+u-1}^{-1}e_{2k-i-i+u}.$$

Случай 3. Пусть  $i + j - k < u \le i$ :

$$(e_{u})f_{i}f_{k}f_{j}f_{k} = (t_{u-1}t_{i-u}^{-1}e_{i-u+1})f_{k}f_{j}f_{k} = (t_{u-1}t_{k-i+u-1}^{-1}e_{k-i+u})f_{j}f_{k} = (t_{u-1}t_{k-i+u-1}^{-1}e_{k-i+u})f_{j}f_{k} = (t_{u-1}t_{k-i+u-1}^{-1}e_{k-i+u})f_{k} = t_{u-1}t_{i-u}^{-1}e_{i-u+1},$$

$$(e_{u})f_{i+j-k}f_{j}f_{i+j-k}f_{i} = (e_{u})f_{j}f_{i+j-k}f_{i} = (e_{u})f_{i+j-k}f_{i} = (e_{u})f_{i} = t_{u-1}t_{i-u}^{-1}e_{i-u+1}.$$

Случай 4. Пусть  $i < u \le n$ :

$$(e_{u})f_{i}f_{k}f_{j}f_{k} \stackrel{(1.2)}{=} (e_{u})f_{k}f_{j}f_{k} \stackrel{(1.2)}{=} (e_{u})f_{j}f_{k} \stackrel{(1.2)}{=} (e_{u})f_{k} \stackrel{(1.2)}{=} e_{u},$$
 
$$(e_{u})f_{i+j-k}f_{j}f_{i+j-k}f_{i} \stackrel{(1.2)}{=} (e_{u})f_{j}f_{i+j-k}f_{i} \stackrel{(1.2)}{=} (e_{u})f_{i+j-k}f_{i} \stackrel{(1.2)}{=} (e_{u})f_{i} \stackrel{(1.2)}{=} e_{u}.$$

Следовательно, соотношения (j3) переходят в соотношения  $f_i f_k f_j f_k = f_{i+j-k} f_i f_{i+j-k} f_i$ .

Очевидно, что (j1) выполнено. Тем самым доказано, что отображение f является гомоморфизмом.  $\Box$ 

Определим антидиагональную матрицу размера  $n \times n$ , у которой только элементы побочной диагонали могут быть отличны от нуля:

$$adiag(w_1, \dots, w_n) = \begin{pmatrix} 0 & \cdots & w_1 \\ \vdots & \ddots & \vdots \\ w_n & \cdots & 0 \end{pmatrix}.$$

Рассмотрим матрицу автоморфизма  $f_k$  ,  $k=2,\ldots,n$  , в базисе  $e_1,\ldots,e_n$  :

$$[f_k] = adiag(t_k^{-1}, t_1t_{k-1}^{-1}, \dots, t_1^{-1}t_{k-1}, t_k) \oplus I_{n-k}.$$

В верхнем левом углу  $[f_k]$  находится блок размера  $k \times k$ , который совпадает с матрицей  $adiag(t_k^{-1},t_1t_{k-1}^{-1},...,t_1^{-1}t_{k-1},t_k)$ . Указанный блок соответствует перестановке нитей от 1 до k включительно. Остальные нити остаются на месте, поэтому вне этого блока на диагонали стоят единицы.

**Пример 1.** При n = 3 матрицы автоморфизмов  $f_2$  и  $f_3$  имеют следующий вид:

$$[f_2] = \begin{pmatrix} 0 & t_1^{-1} & 0 \\ t_1 & 0 & 0 \\ 0 & 0 & 1 \end{pmatrix}, \quad [f_3] = \begin{pmatrix} 0 & 0 & t_2^{-1} \\ 0 & 1 & 0 \\ t_2 & 0 & 0 \end{pmatrix}.$$

**Пример 2.** При n = 4 матрицы автоморфизмов  $f_2$ ,  $f_3$  и  $f_4$  имеют вид:

$$[f_2] = \begin{pmatrix} 0 & t_1^{-1} & 0 & 0 \\ t_1 & 0 & 0 & 0 \\ 0 & 0 & 1 & 0 \\ 0 & 0 & 0 & 1 \end{pmatrix}, \ [f_3] = \begin{pmatrix} 0 & 0 & t_2^{-1} & 0 \\ 0 & 1 & 0 & 0 \\ t_2 & 0 & 0 & 0 \\ 0 & 0 & 0 & 1 \end{pmatrix}, \ [f_4] = \begin{pmatrix} 0 & 0 & 0 & t_3^{-1} \\ 0 & 0 & t_1t_2^{-1} & 0 \\ 0 & t_1^{-1}t_2 & 0 & 0 \\ t_3 & 0 & 0 & 0 \end{pmatrix}.$$

**Теорема 3.2** Образ группы  $J_n$  при отображении f из теоремы 3.1 изоморфен группе подстановок  $S_n$ .

**Доказательство.** Группа Aut(V) содержит подгруппу  $H = \langle T_1, ..., T_{n-1} \rangle$ , которая изоморфна  $S_n$ . Изоморфизм строится по правилу  $\phi((k,k+1)) \mapsto T_k$ , где (k,k+1) – транспозиция, а действие автоморфизма  $T_k$   $T_k$  определяется по формуле

где v = 1, ..., n-1.

Покажем, что  $\langle f_2, ..., f_n \rangle = \langle T_1, ..., T_{n-1} \rangle$ . Докажем индукцией по k вложение  $\langle f_2, ..., f_n \rangle \subseteq \langle T_1, ..., T_{n-1} \rangle$ . Для этого достаточно показать, что верно следующее равенство:

$$T_k = f_{k+1} f_2 f_{k+1}, \ 1 \le k \le n-1.$$

База индукции при k=1 тривиальна. Пусть индукционное предположение верно для всех  $l \le k$ . Докажем, что для k+1 выполняется равенство  $T_{k+1} = f_{k+2} f_2 f_{k+2}$ . Для этого воспользуемся формулой (1) из теоремы 3.1:

$$(e_u)f_{k+2}f_2f_{k+2} = \begin{cases} (t_{u-1}t_{k-u+2}^{-1}e_{k-u+3})f_2f_{k+2}, & 1 \leq u \leq k+2, \\ (e_u)f_2f_{k+2}, & k+2 < u \leq n. \end{cases}$$

Если  $1 \le u \le k+2$ , то при последовательном действии  $f_2$  и  $f_{k+2}$  на  $e_{k-u+3}$  получаем следующие формулы:

$$(t_{u-1}t_{k-u+2}^{-1}e_{k-u+3})f_2f_{k+2} = \begin{cases} t_{u-1}t_{2k-u+2}^{-1}e_{2k-u+3}, & u=k+1, u=k+2, \\ e_u, & 1 \leq u < k+1. \end{cases}$$

Если  $k+2 < u \le n$ , то находим  $(e_u)f_2f_{k+2} = e_u$ . Объединяя найденные формулы, получаем

$$(e_u)f_{k+2}f_2f_{k+2} = \begin{cases} e_u, & 1 \le u < k+1, \\ t_{u-1}t_{2k-u+2}^{-1}e_{2k-u+3}, & u = k+1, u = k+2, = \\ e_u, & k+2 < u \le n. \end{cases} \begin{cases} t_k t_{k+1}^{-1}e_{k+2}, & u = k+1, \\ t_k^{-1}t_{k+1}e_{k+1}, & u = k+2, \\ e_u, & \text{иначе.} \end{cases}$$
 (3)

Воспользуемся формулой (2) для  $T_{k+1}$ :

$$\left(e_{u}\right)T_{k+1} = egin{cases} t_{k}t_{k+1}^{-1}e_{k+2}, & u=k+1, \ t_{k}^{-1}t_{k+1}e_{k+1}, & u=k+2, \ e_{u}, & ext{иначе.} \end{cases}$$

Несложно заметить, что данная формула совпадает с (3).

Теперь докажем индукцией по s обратное вложение  $\langle f_2, ..., f_n \rangle \supseteq \langle T_1, ..., T_{n-1} \rangle$ . Для этого установим равенство  $f_s = T_1 T_2 \dots T_{s-1} f_{s-1}$ ,  $2 \le s \le n$ . База индукции при s=2 тривиальна. Пусть индукционное предположение верно для всех  $l \le s$ , проверим его для s+1. По индукционному предположению  $f_s = T_1 T_2 \dots T_{s-1} f_{s-1}$ , откуда выражаем  $T_1 T_2 \dots T_{s-1} = f_s f_{s-1}$ . Таким образом, достаточно проверить равенство  $f_{s+1} = f_s f_{s-1} T_s f_s$ .

Воспользуемся формулой (1):

$$(e_u)f_s f_{s-1} T_s f_s = \begin{cases} (t_{u-1} t_{s-u}^{-1} e_{s-u+1}) f_{s-1} T_s f_s, & 1 \le u \le s, \\ (e_u) f_{s-1} T_s f_s, & s < u \le n. \end{cases}$$

После действия  $f_{s-1}$  на  $e_{s-u+1}$  при  $1 \le u \le s$  получаем два возможных случая:

$$(t_{u-1}t_{s-u}^{-1}e_{s-u+1})f_{s-1}T_sf_s = \begin{cases} (t_{u-1}t_{u-2}^{-1}e_{u-1})T_sf_s, & 2 \leq u \leq s, \\ (t_{s-1}^{-1}e_s)T_sf_s, & u = 1. \end{cases}$$

Для каждого из случаев находим результат последовательного действия автоморфизмами  $T_s$  и  $f_s$ :

$$(t_{u-1}t_{s-u}^{-1}e_{s-u+1})f_{s-1}T_sf_s = \begin{cases} t_{u-1}t_{s-u+1}^{-1}e_{s-u+2}, & 2 \le u \le s, \\ t_s^{-1}e_{s+1}, & u = 1. \end{cases}$$

Если  $s < u \le n$  , то по формулам (1) и (2) элемент  $e_u$  переходит в себя при действии  $f_{s-1}T_sf_s$  , за исключением случая u=s+1 , в котором получаем

$$(e_{s+1})f_{s-1}T_sf_s = (e_{s+1})T_sf_s = (t_st_{s-1}^{-1}e_s)f_s = t_se_1.$$

Значит, приходим к следующему выражению:

$$(e_u)f_{s-1}T_sf_s = \begin{cases} t_se_1, & u = s+1, \\ e_s, & s+1 < u \le n. \end{cases}$$

Объединяя полученные формулы, видим, что композиция  $f_s f_{s-1} T_s f_s$  совпадает с  $f_{s+1}$  :

$$(e_u)f_sf_{s-1}T_sf_s = \begin{cases} t_s^{-1}e_{s+1}, & u = 1, \\ t_{u-1}t_{s-u+1}^{-1}e_{s-u+2}, & 2 \le u \le s, \\ t_se_1, & u = s+1, \\ e_s, & s+1 < u \le n \end{cases}$$

Таким образом, были доказаны оба вложения и  $\langle f_2, ..., f_n \rangle = \langle T_1, ..., T_{n-1} \rangle$ .  $\square$ 

**Следствие 3.1.** Линейное представление f из теоремы 3.1 при  $n \ge 3$  не является точным.

**Доказательство.** Учитывая, что  $J_3 \leq J_n$  для любого  $n \geq 3$ , достаточно доказать, что представление группы  $J_3$  не является точным. Группа  $J_3$  – бесконечная группа диэдра  $\mathbb{Z}_2 * \mathbb{Z}_2$ , порожденная  $a_2$  и  $a_3$ , поэтому  $(a_2 a_3)^3$  – неединичный элемент. Воспользуемся примером 1, чтобы показать, что элемент  $(a_2 a_3)^3$  под действием отображения f переходит в тождественный автоморфизм:

$$([f_2][f_3])^3 = \left( \begin{pmatrix} 0 & t_1^{-1} & 0 \\ t_1 & 0 & 0 \\ 0 & 0 & 1 \end{pmatrix}, \begin{pmatrix} 0 & 0 & t_2^{-1} \\ 0 & 1 & 0 \\ t_2 & 0 & 0 \end{pmatrix} \right)^3 = \begin{pmatrix} 1 & 0 & 0 \\ 0 & 1 & 0 \\ 0 & 0 & 1 \end{pmatrix}.$$

Таким образом, линейное представление f не является точным.  $\Box$ 

### Список источников

- Devadoss S.L. Tessellations of Moduli Spaces and the Mosaic Operad // Contemp. Math. 1999.
   V. 239. P. 91–114. doi:10.1090/conm/239/03599
- Davis M., Januszkiewicz T., Scott R. Fundamental groups of blow-ups // Adv. Math. 2003.
   V. 177 (1). P. 115–179. doi:10.1016/S0001-8708(03)00075-6
- Henriques A., Kamnitzer J. Crystals and coboundary categories // Duke Math. J. 2006.
   V. 132 (2). P. 191–216. doi: 10.1215/S0012-7094-06-13221-0
- Genevois A. Cactus groups from the viewpoint of geometric group theory // arXiv. 2022. 2212.03494. 22 p. doi: 10.48550/arXiv.2212.03494

- Bellingeri P., Chemin H., Lebed V. Cactus groups, twin groups, and right-angled Artin groups // J. Algebr. Comb. 2024. V. 59. P. 153–178. doi:10.1007/s10801-023-01286-8
- Zimireva K.V. A presentation of the cactus group // Мальцевские чтения: тез. докл. конф., 13– 17 нояб. 2023 г. Новосибирск: Ин-т математики им. С.Л. Соболева СО РАН, 2023. С. 182.
- 7. Chemin H., Nanda N. Minimal presentation, finite quotients and lower central series of cactus groups // arXiv. 2024. 2401.07924. doi: 10.48550/arXiv.2401.07924
- Mostovoy J. The pure cactus group is residually nilpotent // Arch. Math. 2019. V. 113. P. 229– 235. doi:10.1007/s00013-019-01332-7
- Yu R. Linearity of generalized cactus groups // J. Algebra. 2023. V. 635. P. 256–270. doi: 10.1016/i.jalgebra.2023.07.039

#### References

- Devadoss S.L. (1999) Tessellations of moduli spaces and the mosaic operad. Contemporary Mathematics. 239. pp. 91–114. DOI: 10.1090/conm/239/03599.
- Davis M., Januszkiewicz T., Scott R. (2003) Fundamental groups of blow-ups. Advances in Mathematics. 177(1). pp. 115–179. DOI: 10.1016/S0001-8708(03)00075-6.
- 3. Henriques A., Kamnitzer J. (2006) Crystals and coboundary categories. *Duke Mathematical Journal*. 132(2). pp. 191–216. DOI: 10.1215/S0012-7094-06-13221-0.
- 4. Genevois A. (2022) Cactus groups from the viewpoint of geometric group theory. arXiv: 2212.03494. DOI: 10.48550/arXiv.2212.03494.
- Bellingeri P., Chemin H., Lebed V. (2024) Cactus groups, twin groups, and right-angled Artin groups. *Journal of Algebraic Combinatorics*. 59. pp. 153–178. DOI: 10.1007/s10801-023-01286-8
- 6. Zimireva K.V. (2023) A presentation of the cactus group. *Collection of Abstracts, Novosibirsk, November 13–17.* Sobolev Institute of Mathematics, Novosibirsk State University.
- Chemin H., Nanda N. (2024) Minimal presentation, finite quotients and lower central series of cactus groups, arXiv:2401.07924. DOI: 10.48550/arXiv.2401.07924.
- 8. J. Mostovoy (2019) The pure cactus group is residually nilpotent. *Archiv der Mathematik*. 113. pp. 229–235. DOI: 10.1007/s00013-019-01332-7.
- Yu R. (2023) Linearity of generalized cactus groups. *Journal of Algebra*. 635. pp. 256–270.
   DOI: 10.1016/j.jalgebra.2023.07.039.

#### Сведения об авторе:

**Зимирева Ксения Вячеславовна** – аспирант Новосибирского государственного университета (Новосибирск, Россия). E-mail: k.zimireva@g.nsu.ru

### Information about the authors:

Zimireva Ksenia V. (Novosibirsk State University, Novosibirsk, Russian Federation). E-mail: k.zimireva@g.nsu.ru

The article was submitted 01.11.2024; accepted for publication 01.08.2025

Статья поступила в редакцию 01.11.2024; принята к публикации 01.08.2025